

# Badania informacyjne leków homeopatycznych

Diana Wojtkowiak<sup>1</sup>, Mirosława Skórkowska<sup>2</sup>, Włodzimierz Misztal<sup>3</sup>,  
Kazimierz Raduszkiewicz<sup>4</sup>, Andrzej Frydrychowski<sup>1</sup>

POLSKA

1) Zakład Fizjologii Człowieka, Wydział Nauk o Zdrowiu z Oddziałem Pielęgniarstwa i Instytutem Medycyny Morskiej i Tropikalnej, Gdański Uniwersytet Medyczny, ul. Tuwima 15, 80-210 Gdańsk; 2) Apteka Św Heleny ul. Witomińska 10, 81-311 Gdynia; 3) TERESHA, ul. Abrahama 29, 81-659 Gdynia; 4) POLIMOR sp. z o.o., ul. Redłowska 35/10, 81-450 Gdynia.

Diana Wojtkowiak: [science@adr.com.pl](mailto:science@adr.com.pl), [diana@torsionfield.eu](mailto:diana@torsionfield.eu)

## Abstrakt

W pracy wykorzystano nową metodę badawczą leków homeopatycznych jaką jest spektroskopia cząstek pola torsyjnego. Oprócz pożądanego sygnału, w postaci cząstek pól torsyjnych, jaki niesie lek homeopatyczny, zaobserwowano obecność dużej liczby dodatkowych sygnałów pochodzących z głębi Ziemi, a nawet ze Słońca. W przypadku rozcieńczeń dziesięciokrotnych ilość tych dodatkowych sygnałów jest znacznie mniejsza niż w przypadku rozcieńczeń stukrotnych. Przedstawiono metodę uzyskiwania preparatów homeopatycznych wysokiej czystości informacyjnej. Zaproponowano nowe wyjaśnienie mechanizmu potencjonowania leków homeopatycznych wytwarzanych z użyciem wytrząsania. Najważniejszym elementem wydaje się być w tym mechanizmie przemieszczanie się części wody względem siebie w wytrząsanym naczyniu, dzięki czemu woda natrafia na prostopadły ruch cząstek pola torsyjnego spontanicznie emitowanych z innej części wody.

## Wprowadzenie

Metody badawcze i właściwości cząstek pól torsyjnych przedstawiliśmy wcześniej w pozycjach <sup>1-5</sup>. W niniejszej pracy będziemy się starać scharakteryzować właściwości informacyjne, w tym czystość informacji, komercyjnych leków homeopatycznych, jak też esencji Bacha, których zadaniem jest głównie przenoszenie informacji, a zawartość substancji chemicznych odgrywa jedynie drugorzędna rolę.

Uzyskane przez nas wyniki z setek badań eksperymentalnych pokazują, że przenoszenie informacji przez leki homeopatyczne, preparaty informacyjne i urządzenia radioniczne, realizowane jest przez cząstki pola torsyjnego i nie ma nic wspólnego z oddziaływaniami elektromagnetycznymi. Tak więc teorie, które próbują nagiąć właściwości pól elektromagnetycznych tak, aby opisywały homeopatię, nie są w stanie przewidzieć żadnych nowych zjawisk. Wprawdzie głównym celem pracy jest opis właściwości fizycznych i mechanizmu potencjonowania leków homeopatycznych, to jednak ze względu na złożoność występujących zjawisk postanowiliśmy odnieść je do bardziej zrozumiałych z punktu widzenia fizycznego procesów wykonywania preparatów homeopatycznych z użyciem skonstruowanego przez nas, w oparciu o poznane nowe zjawiska, akceleratora pól torsyjnych

4

## **Pole torsyjne/cząstki pola torsyjnego i inne pojęcia**

Cząstki pól torsyjnych występują wszędzie w naszym otoczeniu, jednak nie posiadając zdolności przenoszenia energii, przy dzisiejszym stanie techniki, są bardzo trudno wykrywalne instrumentalnie. Natomiast organizmy żywe bardzo dobrze sobie radzą z ich wykrywaniem, dysponując wyspecjalizowanymi do tego receptorami białkowymi. Więcej, wiele faktów wskazuje na to, że wykorzystują one cząstki pola torsyjnego do wielu ważnych życiowo procesów. Dzięki temu radiesteci metodami biofizjologicznymi potrafili wykrywać obecność cząstek pola torsyjnego już tysiące lat temu.

Przyspieszając cząstki pola torsyjnego emitowane spontanicznie z substancji chemicznych, można je niejako „wbić” do nośnika homeopatycznego, w którym pozostaną. Realizujemy to w naszym laboratorium za pomocą prostego akceleratora cząstek pola torsyjnego, a cały zabieg trwa około sekundy. Tutaj należy wyjaśnić podstawowe cechy pola torsyjnego i cząstek pola torsyjnego które mają zastosowanie w homeopatii, a które to pole jest bardziej skomplikowane od pól elektromagnetycznych.

Różnica między cząstką pola torsyjnego i polem torsyjnym jest podobna do różnicy między elektronem i polem elektromagnetycznym. W obu przypadkach nie istnieje ścisła definicja<sup>16</sup>, która stosowałaby się do wszystkich zjawisk. Możemy się odnieść jednak do cząstki jako do źródła, z którego na zewnątrz będzie sięgać na duże odległości pole. Jeżeli w danym obszarze będziemy w stanie zamknąć źródło, na przykład w fiolce z preparatem homeopatycznym, to raczej będziemy mówić o cząstce niż o polu.

Zasięg promieniowania. Opisywany przez nas zasięg promieniowania leku homeopatycznego to odległość od leku w jakiej wykrywamy metodami biofizjologicznymi skokowe pojawienie się sygnału reprezentującego określoną Kategorię (wyjaśnienie pojęcia Kategorii poniżej). Zasięg promieniowania w przypadku komercyjnych leków homeopatycznych (10g leku) wynosi 1,5 do 25 m. Jest tym większy im wyższa potencja, zasięg promieniowania z substancji chemicznych nie przekracza kilkudziesięciu centymetrów. Zasięg ten do odległość, w jakiej cząstki pola torsyjnego wylatujące z preparatu homeopatycznego, które mogą być wykrywane metodami biofizjologicznymi, zmieniają swoją postać i nie są już tymi metodami wykrywalne. Cząstki te nie wyhamowują jednak i w znacznie dalszej odległości poddane oddziaływaniu akceleratora pola torsyjnego mogą być znów wykrywane.

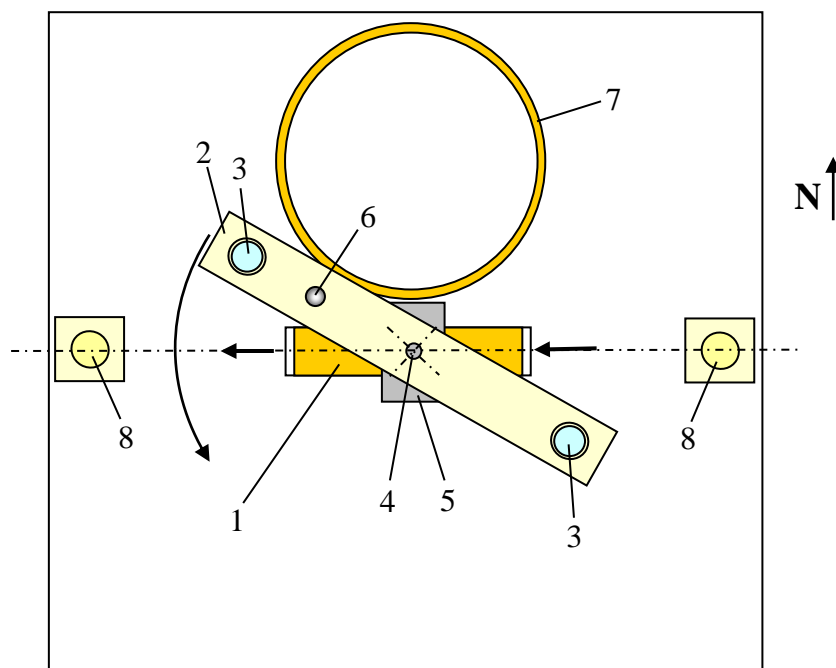
Kategorie. Kategorie rozpatrywane w prostym zakresie fizycznym związane jest z kwantowaną miarą kątową i odzwierciedlają jakiś kąt w substancji.<sup>3</sup> Ich pojęcie jest jednak znacznie szersze, wprowadzone przez Arystotelesa, opisane przez Immanuela Kanta w postaci zamkniętego systemu złożonego z dwunastu elementów, niezmiennego i wiecznego, dotyczącego podłoża myślenia.<sup>14</sup> Później zajmowali się nimi Hegel, Heidegger, Husserl i inni, nie mieli jednak tak przenikliwego i ścisłego umysłu jak Kant. Jak pisze A. Knigin, systemy tworzone przez filozofów są związane z Kategoriami, którymi dane było im się posługiwać.<sup>15</sup> Efekty Kategorii ujawniające się w sposobie funkcjonowania psychiki i myślenia występują w przypadku informacji pola torsyjnego związanego z niektórymi pierwiastkami chemicznymi.<sup>5</sup> Mózgi ssaków, od myszy do człowieka, przystosowane są do rozpoznawania każdej Kategorii pola torsyjnego związanego z uranem osobno, wiążąc poszczególne Kategorie z aktywacją różnych systemów neuroprzebieżnictwa. Prawie pełne zestawienie tych powiązań zostało opisane w pozycji<sup>6</sup>. Podczas procesu potencjonowania Kategoria zmienia się na następną, co oznacza że kąt w kopii substancji się zmienia. Jest tylko dwanaście Kategorii. Podczas normalnego potencjonowania w górę Kategoria dwunasta zmienia się w pierwszą. Historycznie, Kategorie w pewnym stopniu odpowiadają też astrologicznym znakom zodiaku i kolorom radiestezyjnym

Polaryzacja chiralna cząstek pola torsyjnego - może być lewo lub prawoskrętna, w swej idei odpowiada polaryzacji kołowej światła, cząstka pola torsyjnego odbita pod kątem mniejszym od 45° od szybki szklanej zmienia polaryzację na przeciwną. Lewoskrętne cząstki pola torsyjnego wiążą się z chemicznymi cząsteczkami o izomerii lewoskrętnej, a prawoskrętne z prawoskrętnymi. Polaryzacja ogólnie pojętego pola torsyjnego to parametr mocno eksponowany przez autorów rosyjskojęzycznych (np A. Akimow <sup>7</sup>, A. Pawlenko <sup>8</sup>).

Wirowe pole torsyjne. Kiedy cząstki pola torsyjnego krążą po okręgu, występuje wirowe pole torsyjne, podobnie jak w przypadku elektronów krążących po okręgu powstaje pole magnetyczne. Wirowe pole torsyjne występuje w naszym otoczeniu, współwystępuje razem z polem magnetycznym Ziemi, jak również z polem magnetycznym każdego magnesu. Jednak nie należy go mylić z polem magnetycznym. Znacznie silniejsze wirowe pole torsyjne od wytwarzanego przez magnesy możemy wytworzyć, zmuszając cząstki pola torsyjnego do krążenia w pierścieniu metalowym albo w pierścieniach związków aromatycznych.<sup>2</sup> Zewnętrzne wirowe pole torsyjne jest niezbędnym elementem trwałości preparatów homeopatycznych.

### **Urządzenie do potencjonowania**

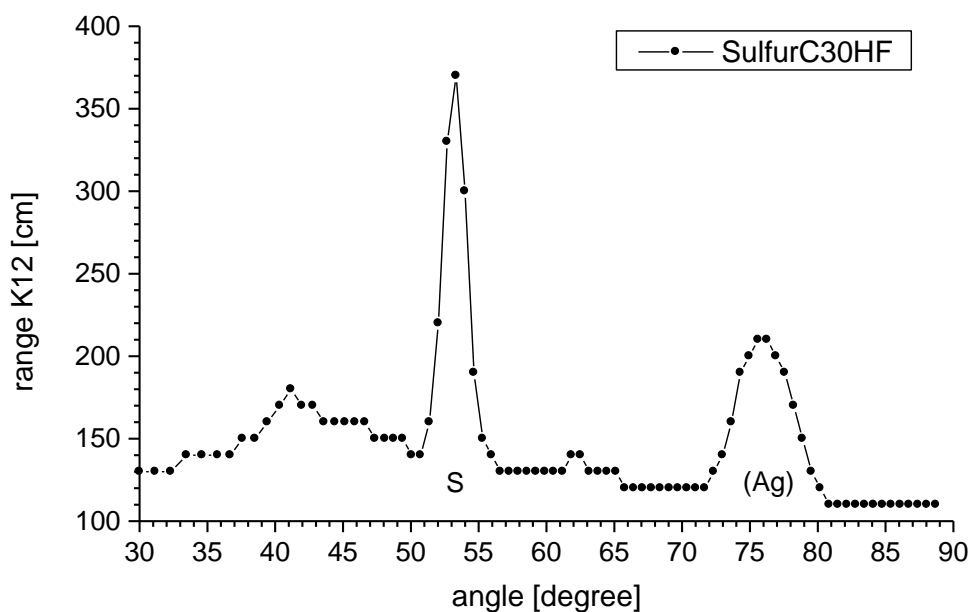
Sześć lat temu skonstruowaliśmy urządzenie do potencjonowania leków homeopatycznych w oparciu o poznane przez nas trzy następujące zjawiska. 1. Kiedy na drodze cząstek pola torsyjnego wylatujących z preparatu homeopatycznego uzyskanego metodą Hahnemanna umieściliśmy dwie elektrody podłączone do prądu stałego, nastąpiło zwiększenie zasięgu promieniowania i jednocześnie odchylenie promieni, jednak nie w kierunku którejś z elektrod, ale prostopadle. Potrzeba naprowadzenia cząstek na prostą linię doprowadziła nas do skonstruowania akceleratora cząstek pola torsyjnego, w którym większa ilość elektrod prowadzi cząstki po torze helikalnym.<sup>4</sup> 2. Kiedy nośnik homeopatyczny, przesuwa się prostopadle względem ruchu cząstek wylatujących z preparatu homeopatycznego następuje potencjonowanie o jeden w górę, albo o jeden w dół w zależności od układu przestrzennego. Umieszczenie zlewki z wodą obok preparatu homeopatycznego i mieszanie jej w lewą stronę powodowało powstanie w zlewce preparatu spotencjonowanego o wartość jeden w górę. Zastosowaliśmy w urządzeniu do potencjonowania ruch kołowy wokół akceleratora jednocześnie dwóch nośników homeopatycznych, niosząc na jeden z nich sygnał z substancji odpowiadający nalewce pierwotnej. Pół obrotu w lewo odpowiada potencji +2. 3. Na podstawie informacji podanej przez Cyrila Smitha, mówiącej, że informacja leków homeopatycznych jest kasowana po włożeniu do żelaznego pudełka po herbatnikach <sup>9</sup>, uzyskaliśmy kasowanie preparatów homeopatycznych przez kilkukrotne obniżenie ziemskiego pola magnetycznego cewką kompensującą. Zastosowanie cewki kasującej w urządzeniu do potencjonowania umożliwiło skasowanie niepotrzebnej już informacji od nalewki pierwotnej i przejście do kolejnego cyklu podwyższenia potencji o wartość 2. Na rys. 1 przedstawione jest schematycznie urządzenie do potencjonowania naszej konstrukcji. Urządzenie to posiada dodatkowo licznik półobrotów i timer dla dobrania czasu działania akceleratora podczas przygotowywania nalewki pierwotnej. W ciągu jednej minuty kręcenia korbką można uzyskać potencję C200. Zastosowany nośnik homeopatyczny to roztwór alkoholu wykazujący pewną nieliniowość o stężeniu 20%, dobranym tak, aby wzrost zasięgu poszczególnych potencji odpowiadał komercyjnym lekom homeopatycznym serii C uzyskiwanym na wytrząsarkach. Rozwiązanie to zastosowaliśmy w celu łatwiejszego porównania efektów biologicznych preparatów homeopatycznych wykonywanych obiema metodami.



Rys. 1. Schematyczny rysunek urządzenia do potencjonowania. 1 - akcelerator wewnątrz cewki uniezależniającej jego pracę od ziemskiego pola magnetycznego, 2 - obrotowa belka utrzymująca fiołki z nośnikiem homeopatycznym, 3 - gniazda na fiołki, 4 - oś obrotu, 5 - mocowanie łożyska kulkowego, 6 - korbka, 7 - cewka kasująca, 8 - dodatkowe gniazda na fiołki do przygotowania nalewki pierwotnej i uzyskania potencji +1.

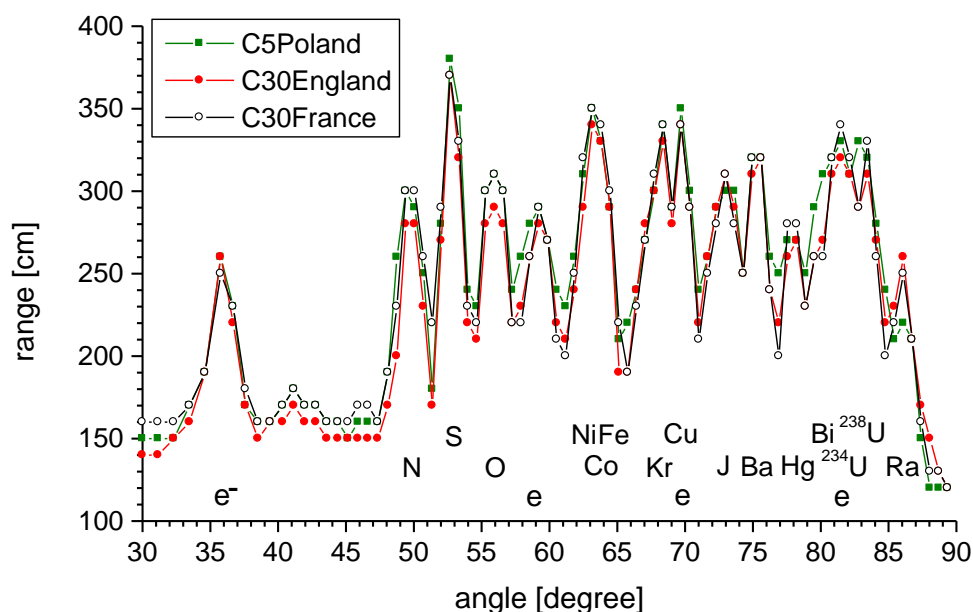
### **Spektrum uzyskane z użyciem spektroskopu typu optycznego**

Preparaty homeopatyczne można badać metodą spektroskopii cząstek pól torsyjnych na skład pierwiastkowy<sup>1</sup>. Jest to obecnie najbardziej zaawansowana metoda badań zawartej w nich informacji. Na rys. 2 przedstawione zostało pełne spektrum dla preparatu homeopatycznego siarki uzyskanego z użyciem urządzenia do potencjonowania naszej konstrukcji. Nalewkę pierwotną przygotowano wykorzystując 50g siarki krystalicznej, następnie dokonano trzydziestokrotnego cząstkowego procesu potencjonowania, tak aby uzyskać preparat odpowiadający potencji C30. Wykres wykonano dla najsilniejszej Kategorii preparatu - K12. Na wykresie występuje jeden czysty sygnał siarki przy kącie 53°. Sygnał przy kącie 76° to wada spektroskopu będąca wynikiem kompromisu koniecznego dla usunięcia efektów dyfrakcyjnych, jest to sygnał srebra, które umieszczono w szczelinach kolimatorów. Wzniesienie przy 41° i nachylenie poziomu tła to szum spektroskopu, być może związany z wewnętrznymi refleksami.



Rys. 2. Spektrum preparatu homeopatycznego siarki krystalicznej o potencji C30 uzyskanego z użyciem urządzenia do potencjonowania opartego o akcelerator pól torsyjnych. Oznaczenia: S - siarka, (Ag) - sygnał zakłócający pochodzący od srebra wypełniającego szczeliny kolimatorów spektroskopu. Oś odciętych - kąt wiązki padającej względem płaszczyzny łamiącej mierzony w stopniach, oś rzędnych - zasięg promieniowania Kategorii K12 z próbek 40ml na wyjściu spektroskopu mierzony w centymetrach.

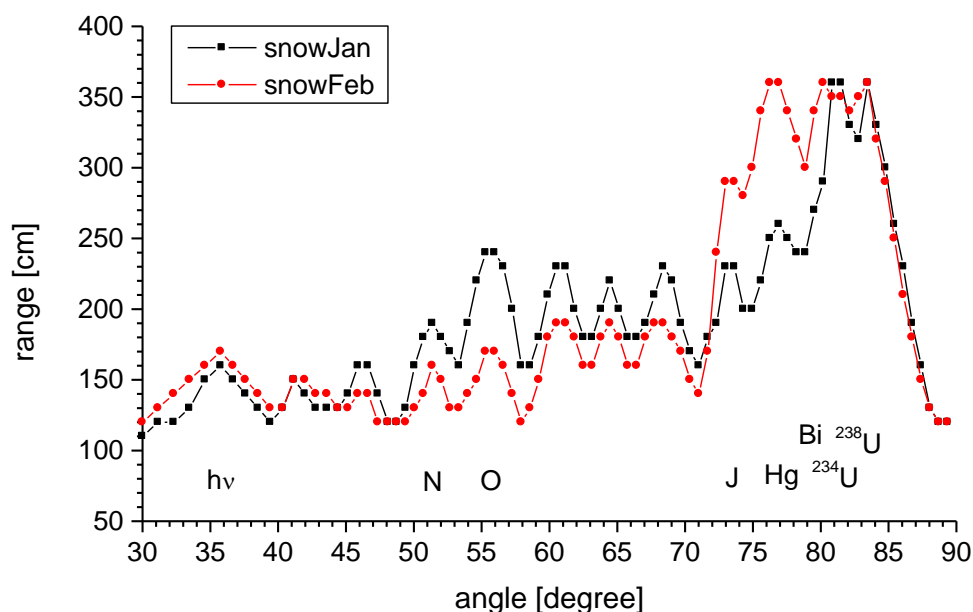
W przypadku komercyjnych leków homeopatycznych wykonywanych zgodnie z farmakopeą moglibyśmy spodziewać się podobnego wykresu. Nic bardziej błędnego. W leku homeopatycznym sygnał substancji określonej w jego nazwie to tylko jeden z wielu składników informacyjnych preparatu. Możemy to zaobserwować na wykresach rys. 3, gdzie przedstawiono leki homeopatyczne trzech firm i we wszystkich z nich siarka jest tylko jednym z wielu elementów mieszaniny informacyjnej.



Rys. 3. Spektrogramy komercyjnych preparatów siarki, pochodzących z trzech firm (Sulfur CH5 AHPW, Syców, Polska; Sulfur 30CH Boiron, Francja; Sulphur C30 Ainsworths Homoeopathic Pharmacy, Anglia, na wykresach widoczne jest spektrum cząstek o polaryzacji lewoskrętnej). Pod poszczególnymi pikami zaznaczono odpowiadające im pierwiastki,  $e^-$  - sygnał elektronu, e - sygnały od chmury elektronowej. Oś odciętych - kąt wiązki padającej względem płaszczyzny łamiącej mierzony w stopniach, oś rzędnych - zasięg promieniowania (K11 dla potencji C5 i K12 dla potencji C30) z próbek 40ml na wyjściu spektroskopu mierzony w centymetrach.

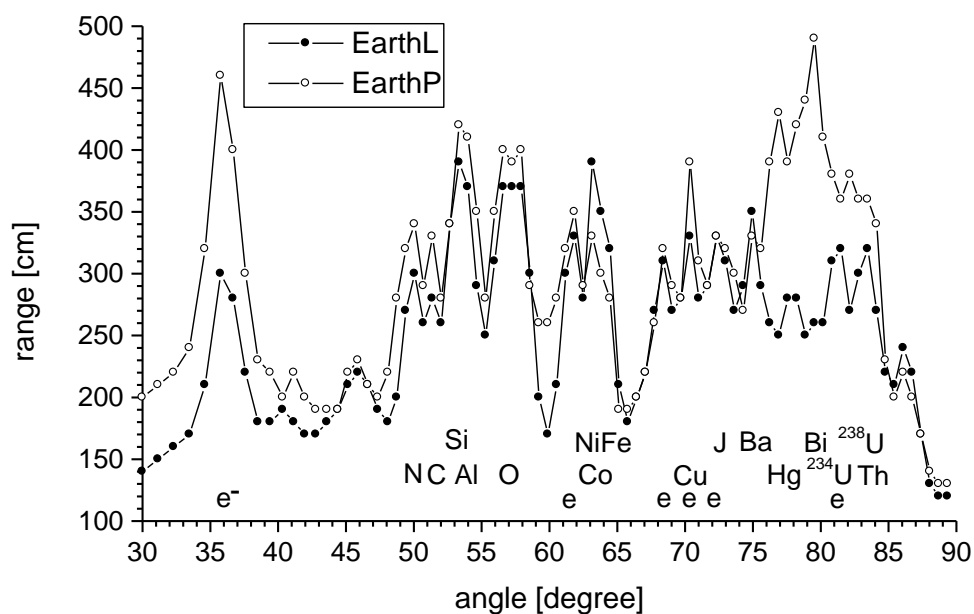
Obecne w spektrum pierwiastki mogą na pierwszy rzut oka niepokoić, jest to jednak informacja zawarta w naturalnym polu torsyjnym występującym w naszym otoczeniu. Nasze wcześniejsze badania <sup>1, 5</sup> pokazały, że sygnały te pochodzą głównie od pierwiastków promieniotwórczych, które w polu torsyjnym są nadeksponowane względem pierwiastków trwałych. Informacja ta dociera z głębi Ziemi, jak też ze Słońca, w postaci cząstek pola torsyjnego reprezentujących kopię poszczególnych atomów lub cząstek uzyskaną w materii cząstki pola torsyjnego. Cząstki te są powolne, poruszają się z szybkościami kilkudziesięciu do kilkuset metrów na sekundę <sup>4</sup>, posiadają jednak powinowactwo do fotonów, dzięki czemu z szybkością światła docierają do nas ze Słońca, korzystając ze spontanicznego „doczepienia” się do fotonów promieniowania podczerwonego <sup>5</sup>. Sygnały jodu, rtęci i uranu docierają do nas ze Słońca z informacją zmienną w czasie, w postaci cyklicznych zmian Kategorii <sup>5</sup>, dzięki czemu wolnozmiennie zegary biologiczne nie muszą same odliczać czasu. Trudny problem precyzyjnego odliczania czasu w układach biologicznych, nie doczekał się jak dotąd klasycznego wyjaśnienia satysfakcjonującego wymogi oczekiwanej dokładności. Podawane przez niektórych autorów mierzenie czasu spontanicznym czasem trwania translacji białek, zależnym od dostępności aminokwasów, ATP itp, nie brzmi poważnie, a i tak dotyczy czasu w skali minut, nie godzin i lat. Nasza hipoteza <sup>5</sup> wykorzystania zmierzonych przez nas cykli słonecznych do regulacji ważnych życiowo procesów jest tu o tyle ważna, że informacje wprowadzone z otaczającej nas przestrzeni do leków homeopatycznych, mogą też wpływać na te procesy.

Informacja z otoczenia może być przejęta na wytrząsarkach przez ruch względem docierającego promieniowania pola torsyjnego. Występuje tutaj w pewnym stopniu podobieństwo do płatków śniegu tworzących się z przesyconej pary, a jednocześnie spadających z dużej wysokości. Wchłonięta przez śnieżynki informacja jest bardzo trudna do skasowania, a kiedy śnieg się topi powstaje słaby preparat homeopatyczny. Być może dlatego rośliny szybciej rosną w pobliżu topniejącego śniegu lub lodowca, co znane jest od setek lat. Na rys. 4 przedstawione jest spektrum informacji zawartej w świeżym śniegu. Widać przynajmniej częściowo te same pierwiastki, które znajdują się w spektrum leków homeopatycznych

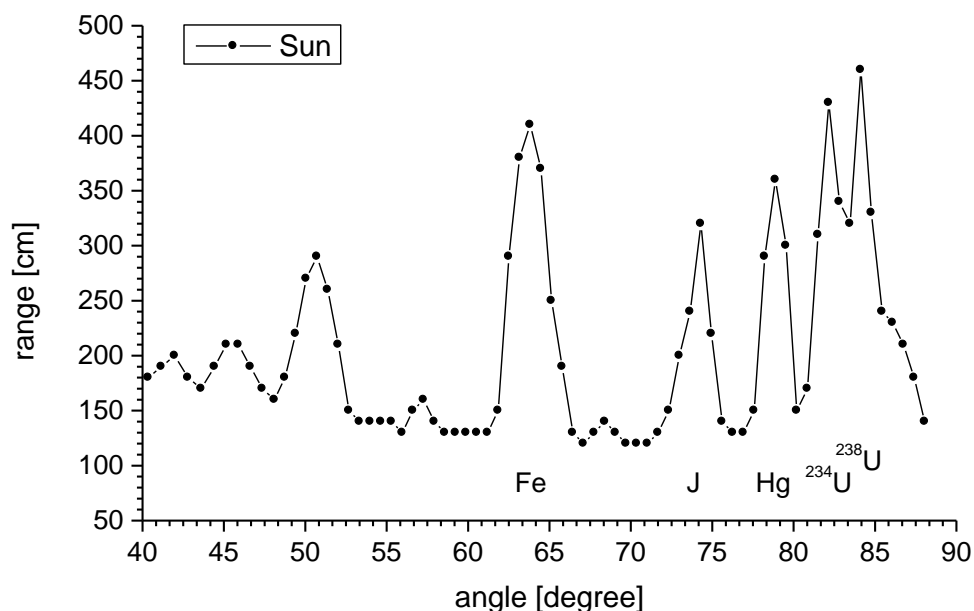


Rys. 4. Spektrogramy cząstek pola torsyjnego ze śniegu, który spadł w ciągu dnia w Gdańsku 14.01.2017 [K10] - czarne kwadraty, oraz 8.02.2017 [K11] - czerwone kółka (spektrogramy cząstek o polaryzacji lewoskrętnej). Oś odciętych - kąt mierzony w stopniach, oś rzędnych - zasięg promieniowania z próbek 9ml na wyjściu spektroskopu mierzony w centymetrach.

Teraz możemy porównać te dwa spektrum z informacją pochodzącą z głębi Ziemi - rys. 5 i wędrującą do nas ze Słońca na fotonach - rys. 6. Cząstki pola torsyjnego do spektroskopii zostały przeniesione na fiolkę z wodą z głębi Ziemi, jak też odpowiednio z kierunku Słońca, za pomocą akceleratora cząstek pola torsyjnego.



Rys. 5. Spektrum cząstek pola torsyjnego Ziemi. Pełne kółka - cząstki o polaryzacji lewoskrętnej, puste kółka - cząstki o polaryzacji prawoskrętnej. Oś odciętych - kąt mierzony w stopniach, oś rzędnych - zasięg promieniowania z próbek 40ml na wyjściu spektroskopu mierzony w centymetrach. Dla polaryzacji lewoskrętnej K6 (lokalny najsilniejszy sygnał tzw. siatki etnicznej), dla polaryzacji prawoskrętnej K9 (lokalny najsilniejszy sygnał tzw. siatki epok historycznych)



Rys. 6. Spektrum cząstek pola torsyjnego dochodzących od Słońca (spektrum cząstek o polaryzacji lewoskrętnej). Spektrum wykonane z archiwalnej próbki z 27 sierpnia 2011r<sup>5</sup>. Oś



odciętych - kąt mierzony w stopniach, oś rzędnych - zasięg promieniowania z próbek 9ml na wyjściu spektroskopu mierzony w centymetrach.

Na wszystkich czterech wykresach widzimy powtarzające się pierwiastki: jod, rtęć uran. Jak wykazaliśmy w pracy<sup>5</sup>, informacja związana z tymi pierwiastkami zawarta w dochodzących do nas ze Słońca, cząstkach pola torsyjnego może odgrywać ważną rolę w regulacji cyklu związanego z energetyką organizmu (J), cyklu miesięczkowego (Hg) i cyklu zmieniającego nastawienie psychiczne, wrażliwość i wydolność intelektualną, co związane jest z pobudzaniem tonusu różnych systemów neuroprzebieżnictwa (U). Możemy się też spodziewać, że sygnały od tych pierwiastków wpłyną na zjawiska psychoimmunologiczne, a więc bardziej bezpośrednio związane z efektami leczniczymi. Korelacje cykli słonecznych z efektywnością działania układu immunologicznego, czy może raczej fenomenologicznie, z obecnością zachorowań, obserwował i obszernie opisał w okresie międzywojennym, kiedy występowało jeszcze wiele niekontrolowanych epidemii, A, Czyżewskij<sup>10</sup>.

Nie jest jednak celem tej pracy wykazanie jakie efekty wywołują poszczególne sygnały dodatkowe znajdujące się w lekach homeopatycznych, a zapoznanie czytelnika ze strukturą informacyjną tych leków i wskazanie na występowanie możliwości oddziaływania psychofizjologicznego zawartych dodatkowych sygnałów.

### **Data i miejsce wyprodukowania leku homeopatycznego**

Oprócz sygnałów oddziałujących w jakiś sposób biologicznie, możemy w ich wewnętrznej zawartości informacyjnej znaleźć dosyć precyzyjnie określone czas i miejsce wykonania leku, które przynajmniej częściowo jesteśmy w stanie odczytać. Informacje te są zapisane w systemie dwunastkowym i odpowiadają jedno lub dwuwymiarowemu tzw. fraktalowi planetarnemu opisanemu w pozycjach<sup>4, 6, 11</sup>.

Już wcześniej zaobserwowaliśmy w lekach homeopatycznych obecność pola torsyjnego pochodzącego od Słońca. Pokazane jest to w tabeli 1, na przykładzie leków polskiej firmy AHPW (Apteka Homeopatyczna Pod Wagą, Syców), która rzetelnie podaje na opakowaniu datę produkcji. Wykorzystaliśmy preparatywnie wydzielony sygnał Uranu 234 na spektrum, występujący na wykresie przy 81,5°. W tabeli dla każdego leku zaznaczona została najsilniejsza Kategoria (polaryzacja lewoskrętna). Kategorie te okazały się zgodne ze znakiem zodiaku w jakim znajdowało się Słońce, odczytanym z efemeryd astrologicznych dla poszczególnych dat. Znak plus przy wartości liczbowej oznacza zgodność Kategorii ze znakiem zodiaku.

Tabela 1

Kategoria	Apis mellifica C9 <b>07/05/2015</b> frakcja 81,5	Sulphur C5 <b>08/02/2016</b> frakcja 81,5	Nicolum met. C30 <b>14/01/2016</b> frakcja 81,5	Sulphur LM6 <b>05/03/2015</b> frakcja 81,5
	zasięg [cm]	zasięg [cm]	zasięg [cm]	zasięg [cm]
K1	130	130	150	130
K2	200 +	120	150	130
K3	130	130	150	130
K4	130	130	150	140
K5	130	130	160	140
K6	130	150	150	130
K7	130	140	160	130
K8	130	130	150	140
K9	140	130	150	130
K10	130	130	240+	130
K11	160	190+	150	130
K12	130	140	150	200+

Już w trakcie pisania niniejszej pracy sprawdziliśmy, że w lekach homeopatycznych jest informacja dotycząca miejsca na kuli ziemskiej gdzie wykonano lek, a także odkryliśmy obecność datowania związanego z dwunastoletnim horoskopem chińskim. Obydwie informacje związane z sygnałem żelaza, pierwsza dla polaryzacji lewoskrętnej pochodząca od Ziemi, druga dla prawoskrętnej, pochodząca od Słońca, albo raczej pochodząca od interferencji Ziemia-Słońce.

Sygnały te nie muszą być unikalne dla podanych pierwiastków, ponieważ w skali planetarnej występuje w pewnym zakresie zjawisko sprzężenia się Kategorii dla kilku pierwiastków.<sup>5</sup> Nie było tutaj naszym celem dogłębne poznanie tego tematu, a jedynie wykazanie, że informacja o miejscu i czasie jest łatwo przechwytywana z otoczenia podczas procesu wytrząsania. Stąd podajemy jedynie wrywkowe informacje. Obszerniejsze informacje na temat obecności w naszym otoczeniu sygnałów miejsca i czasu znajdują się w innej publikacji.

Z formy lewoskrętnej frakcji żelaza uzyskanej dla kąta  $63^\circ$ , dodatkowo stosując rozdział na polaryzacje liniowe, zgodną z lokalnym kierunkiem linii sił pola magnetycznego i prostopadłą, można odczytać położenie na kuli ziemskiej. W książce Antropologia Systematyczna<sup>6</sup> został opisany na podstawie danych etnicznych rozkład promieniowania Kategorii na Ziemi tworzący tzw. siatkę etniczną. Położenie tej siatki względem przyjętego oficjalnie oznakowania południków i równoleżników zostało przez nas uściślone za pomocą pomiarów pola torsyjnego w terenie i zaprezentowane na konferencji dotyczącej pól torsyjnych w Moskwie w 2016 roku<sup>5</sup>, jakkolwiek wynik ten ze względu na wykonanie pomiarów przed samą konferencją nie znalazł się w materiałach zjazdowych. Różnica wyznaczenia dwiema metodami wynosiła kilka kilometrów w skali kuli ziemskiej. Ogólnie Ziemię możemy podzielić na 12 sektorów południkowych, gdzie Kategoria 1 zaczynałaby się od południka 118,32W (w Europie granica K4/K5 1,68°E). Idąc w kierunku wschodnim następowałyby kolejne Kategorie, które w następnych warstwach dzieliłyby się na dwanaście i na dwanaście. Podobnie sektory równoleżnikowe począwszy od Kategorii K9 w okolicy bieguna południowego po kolei dochodziłyby do K8 w okolicy bieguna północnego. I tu również następne warstwy wynikałyby z podziału na dwanaście, na dwanaście itd.<sup>6</sup>

W ten sposób odczytując z tabeli 2 najsilniejsze Kategorie dla polaryzacji lewoskrętnej z frakcji żelaza leku homeopatycznego Sulphur C30 firmy Ainsworths Homoeopathic Pharmacy, uzyskujemy w pierwszym przybliżeniu obszar północno-zachodniej Europy, a dla drugiej warstwy Kategorii (o nieco mniejszym zasięgu promieniowania) obszar w przybliżeniu pokrywający się z obszarem Londynu.

Tabela 2

Kategoria	frakcja 63 Fe, polaryzacja LH	warstwa siatki etnicznej W-E	frakcja 63 Fe, polaryzacja LV	warstwa siatki etnicznej N-S	frakcja 63 Fe, polaryzacja R	rok zgodnie ze starożytną notacją chińską
	zasięg [cm]		zasięg [cm]		zasięg [cm]	
K1	260	III	190		300	rok chiński 2012/2013 +/-12n
K2	200		190		330	2012- 2025 +/-144n
K3	190		190		260	
K4	190		310	I	260	
K5	280, 220	II, Słońce	220	Słońce	340	2000-2144
K6	310	I	210		260	
K7	200		190		260	
K8	200		260	III	250	
K9	190		190		310	
K10	190		240	IV	260	
K11	230	IV	280	II	260	
K12	190		190		260	

L - polaryzacja chiralna lewoskrętna, R - polaryzacja chiralna prawoskrętna, H - polaryzacja liniowa odpowiadająca siatce równoleżnikowej, V - polaryzacja liniowa odpowiadająca siatce południkowej. Warstwa I Kategorii - północno-zachodnia Europa, Warstwa II Kategorii - Londyn, Odczytany rok: 2012/2013

Z polaryzacji prawoskrętnej frakcji żelaza można odczytać w tabeli 2, dla tego samego leku, rok chiński w zakresie wynikającym z trzech warstw Kategorii obejmujących 12 lat, 144 lata i 1728 lat. Dane te wskazują na rok chiński według naszego kalendarza 2012/2013. Rok rozpoczyna się i kończy na przełomie stycznia i lutego, co ustaliliśmy na podstawie archiwalnych próbek promieniowania Słońca z lat 2011-2017.

W przypadku leków homeopatycznych stosunek sygnał/szum dla informacji o miejscu i czasie jest nieco gorszy niż w przypadku próbek sygnału pobranych z użyciem akceleratora z głębi Ziemi i od Słońca, jednak wystarczający dla odczytania tych informacji. Podczas potencjonowania na wytrząsarkach nie następuje zmiana Kategorii w informacji o czasie i miejscu. Będzie to wymagało wyjaśnienia.

### Inne sygnały niespecyficzne

Wróćmy do gąszczy informacji dodatkowych znajdujących się w komercyjnych preparatach homeopatycznych siarki. Dla większości sygnałów wykonaliśmy dodatkowo badanie wzmocnienia rezonansowego, a w przypadku kryptonu badanie podświetlenia rezonansowego.<sup>1</sup>

Jednym z ważnych, aczkolwiek trudnym do przewidzenia pod względem oddziaływania fizjologicznego, na obecnym poziomie naszego rozumienia leków

homeopatycznych, jest sygnał od chmury elektronowej odpowiedzialnej za wytwarzanie ziemskiego pola magnetycznego. Na wykresach rys. 3 i rys. 5 sygnał ten jest podpisany literami e i składa się z trzech sprzężonych ze sobą pików, z których środkowy jest trypletem, układ ten odzwierciedla w jakimś stopniu toroidalny kształt chmury elektronowej ziemskiego magnesu. Podobny układ pików zaobserwowaliśmy na spektrum z magnesu toroidalnego z ferrytobaru. Podobne układy pików występują też dla chemicznych układów aromatycznych i grafitu.<sup>2</sup> Sygnały te wykazują wzmocnienie rezonansowe przez benzen, dzięki temu można je wyłowić ze skomplikowanej mieszaniny.

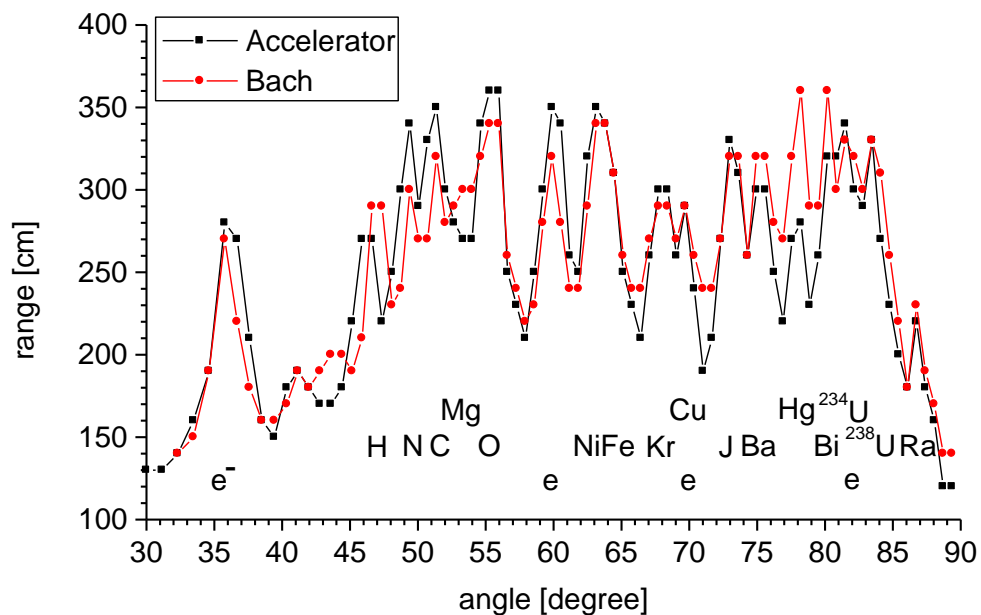
Na wykresie rys. 3 obok prawidłowego sygnału siarki (S) przy kącie 53° znajdują się sygnały azotu (N) i tlenu (O). Raczej nie pochodzą one od gazów zawartych w powietrzu, w którym ich gęstość właściwa jest niewielka, ale z wnętrza Ziemi, gdzie oprócz oczywistej dużej zawartości tlenu, azot również może występować<sup>12</sup>. Szeroki pik przy 63° oprócz sygnału żelaza ze Słońca reprezentuje sygnał z jądra Ziemi składający się z żelaza i niklu, ale też z dobrze widoczną przy wzmocnieniu rezonansowym zawartością kobaltu, chromu i manganu, co odpowiada teoriom budowy jądra ziemi opartym na kondensacji poszczególnych metali w zależności od ich lotności, jak też składowi meteorytów żelaznych, które jak się przypuszcza mogły powstać podczas wybicia Księżyca z Ziemi uderzeniem obcego ciała niebieskiego.<sup>12</sup> Innym źródłem meteorytów żelaznych jest pas planetoid, jakkolwiek istnienie hipotetycznej planety rozbitej na planetoidy, które tłumaczyłaby odpowiedniość meteorytów i jądra planet nie jest oficjalnie uznawane.

W spektrum badanych leków homeopatycznych bogato reprezentowane są produkty rozpadu uranu, który w uproszczeniu podlega następującym reakcjom rozpadu:  $^{238}\text{U} \rightarrow ^{234}\text{U} + \alpha$ ;  $^{234}\text{U} \rightarrow ^{226}\text{Ra} + 2\alpha$ ;  $^{235}\text{U} + n \rightarrow ^{141}\text{Ba} + ^{92}\text{Kr} + n$ . Zgodnie z tymi reakcjami na wykresie znajdujemy uran 238 ( $^{238}\text{U}$ ), uran 234 ( $^{234}\text{U}$ ), bar (Ba), krypton (Kr) i rad (Ra). Rad może też pochodzić z rozpadu toru (Th). Oprócz tego do ciekawszych pierwiastków należą bizmut (Bi) i miedź (Cu), które wydają się odgrywać ważną rolę fizjologiczną i są przedmiotem naszych badań w tym kierunku. Poza tym na wykresie zostały zaznaczone pierwiastki: krzem (Si) glin (Al) i węgiel (C) znajdujące się w skorupie ziemskiej. Jak się spodziewamy, pod wymienionymi pikami jest reprezentowana większa liczba składników skorupy ziemskiej, ale jak dotąd nie były one przedmiotem naszych zainteresowań. Na uwagę zasługuje jeszcze znajdujący się po lewej stronie przed wszystkimi pierwiastkami sygnał elektronów (e<sup>-</sup>), którego pochodzenia nie rozpoznaliśmy, czy pochodzi z rozpadów pierwiastków promieniotwórczych, czy od elektronów krążących w ziemskim magnecie. Na wykresie promieniowania Ziemi sygnał ten został przykryty szerokim, tworzącym trójkąt sygnałem fotonów, które są obserwowane, kiedy w metodzie stosujemy kilkudziesięciomililitrowe buteleczki z wodą jak w przypadku wykresów rys. 5, a nie są obserwowane w przypadku małych fiolek, jak też granulek laktozowych, które nie przenoszą tej informacji zajmującej znaczną przestrzeń fizyczną.

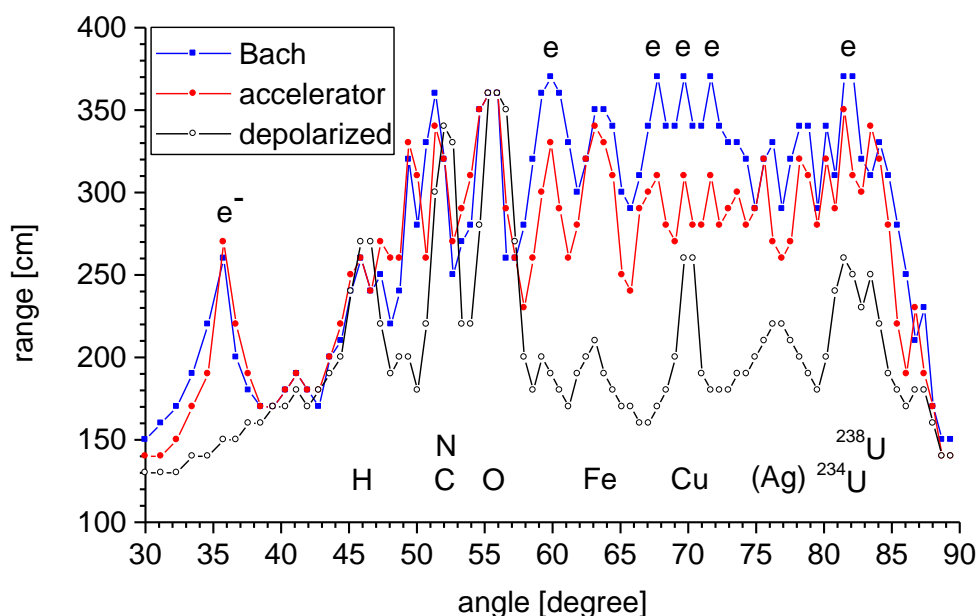
## Esencje Bacha

Produkcja leków homeopatycznych z użyciem nalewki pierwotnej rozcieńczenia i wytrząsania nie jest jedyną klasyczną metodą przeniesienia informacji cząstek pola torsyjnego na nośnik homeopatyczny. Edward Bach wprowadził do użytku w latach trzydziestych nieco inną metodę uzyskiwania preparatów informacyjnych pochodzenia roślinnego. W metodzie tej zwykle mówi się o przekazywaniu informacji z kwiatostanów do wody po której pływają w naczyniu na skutek działania światła słonecznego. Jednak, jak zauważyliśmy podczas pomiarów komercyjnych esencji i analogicznych preparatów uzyskanych z użyciem akceleratora cząstek pól torsyjnych z rosnących roślin, w esencjach występowało przesunięcie Kategorii o dwie jednostki w górę, co oznacza obecność dwukrotnego potencjonowania. Potencjonowania wykonywanego prawdopodobnie z myślą o zwiększeniu ilości preparatu,

ponieważ zmiana naturalnego promieniowania roślin o dwie potencje nie wydaje się korzystna fizjologicznie. Później znaleźliśmy w literaturze, że rzeczywiście wykonuje się potencjonowanie. Ciekawym dla nas spostrzeżeniem było podobieństwo spektrów uzyskanych tymi dwoma metodami oznaczające, że zawartość dodatkowych sygnałów od Ziemi i Słońca w metodzie uzyskiwania esencji Bacha jest stosunkowo mała. Już sama roślina przejęła tę informację. Tak było w przypadku pąka kasztanowca (rys. 7), czy w przypadku ałyczy (rys 8). W niektórych preparatach jednak różnice były znacznie większe (dane nie zamieszczone)



Rys. 7. Porównanie spektrum esencji Bacha „Pąk kasztanowca” firmy angielskiej Healingherbs ltd, Hereford, (czerwone kółka) i preparatu homeopatycznego uzyskanego za pomocą akceleratora pól torsyjnych, bez potencjonowania (czarne kwadraty). Spektra wykonane dla Kategorii reprezentującej najsilniejszy sygnał. Oś odciętych - kąt mierzony w stopniach, oś rzędnych - zasięg promieniowania: dla esencji K2, dla preparatu uzyskanego akceleratorem K12.

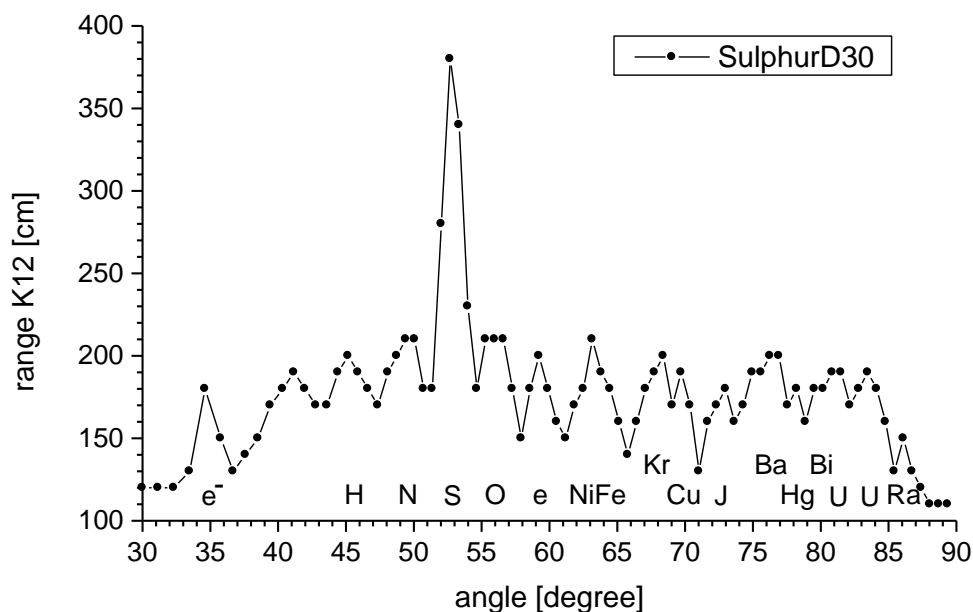


Rys. 8. Porównanie spektrum esencji Bacha „Ałycza” firmy angielskiej Healingherbs ltd, Hereford (niebieskie kwadraty) i preparatów homeopatycznych uzyskanych z kwiatów ałyczy za pomocą akceleratora pól torsyjnych: z kwiatów na drzewie (czerwone kółka), z kwiatów po ucięciu gałązki i skasowaniu informacji homeopatycznej (czarne puste kółka) Spektra wykonane dla Kategorii reprezentującej najsilniejszy sygnał. Oś odciętych - kąt mierzony w stopniach, oś rzędnych - zasięg promieniowania z próbek 40ml: dla esencji - K2, dla preparatów uzyskanych akceleratorem - K12.

Obecność charakterystycznego dla promieniowania Ziemi układu pierwiastków i sygnału chmury elektronowej w spektrach uzyskanych z użyciem akceleratora nasuwa przypuszczenie, że rośliny zachowują się jak nośnik homeopatyczny „chciewie” wiążąc informację pola torsyjnego z otoczenia. Jak możemy przypuszczać, informacja ta będzie obecna nie tylko w esencjach Bacha ale też w naszym pożywieniu. Aby pokazać, że informacja ta nie pochodzi od samych roślin, ucięliśmy kwitnącą gałązkę Ałyczy i kasowaliśmy jej informację, najpierw wkładając na chwilę do lodówki, a później możliwie dokładnie traktując ręcznym depolaryzatorym naszej konstrukcji, który stosujemy do usuwania fantomów pola torsyjnego ze ścian i stołów. Następnie skopiowaliśmy informację akceleratorem pola torsyjnego i wykonaliśmy spektrum. Uzyskane spektrum przedstawione zostało na najniższym wykresie na rys. 8. Widoczne są główne pierwiastki biogenne: wodór, węgiel, tlen i azot (sprawdzone na wzmocnienie rezonansowe). To czy sygnały żelaza miedzi i uranu pochodzą od rośliny, czy są pozostałością niezupełnie skasowanej informacji homeopatycznej trzeba jeszcze będzie sprawdzić, ale do tego prawdopodobnie będziemy potrzebowali specjalnej komory obniżającej bardziej ziemskie pole magnetyczne, niż możemy tego dokonać obecnie. Prawdopodobnie rośliny, podobnie jak krew ludzka znacznie silniej wiążą informację homeopatyczną niż zwykle nośniki homeopatyczne stosowane do produkcji leków homeopatycznych, które wystarczy włożyć do lodówki aby uległy całkowitemu skasowaniu.

Nasze, wspomniane wyżej, spostrzeżenie o małej zawartości informacji dodatkowej w esencjach Bacha, skłoniło nas do wykonania spektrum dla leku homeopatycznego Sulphur serii D, a więc wykorzystującego rozcieńczenia 10-krotne, w przeciwieństwie do poprzednio badanych stukrotnych rozcieńczeń C. Wykres spektrum dla leku homeopatycznego Sulphur

D30 został przedstawiony na rys. 9. Na wykresie rzuca się w oczy górujący nad pozostałymi sygnałami pik siarki. W tle można rozróżnić te same pierwiastki pochodzące od Ziemi i Słońca, które znajdowały się w preparatach serii C, ale ich sygnały mają znacznie mniejszą intensywność. Wykres ten pokazuje, że preferowanie przez wielu radiestetów rozcieńczenia dziesiętnego ma swoje uzasadnienie. Specyficzność tych rozcieńczeń, jak się można spodziewać, będzie wyższa niż w przypadku rozcieńczeń stukrotnych.

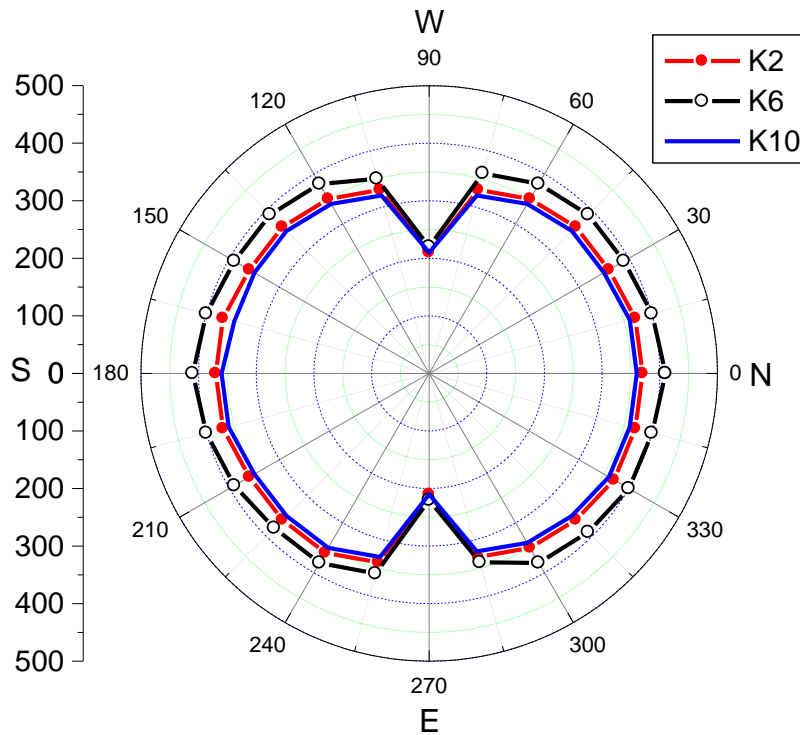


Rys. 9. Spektrum leku homeopatycznego Sulphur D30 firmy AHPW. Oś odciętych - kąt mierzony w stopniach, oś rzędnych - zasięg promieniowania najsilniejszej Kategorii - K12, z próbek 40ml na wyjściu spektroskopu mierzony w centymetrach.

### Anizotropia otaczającego nas pola torsyjnego

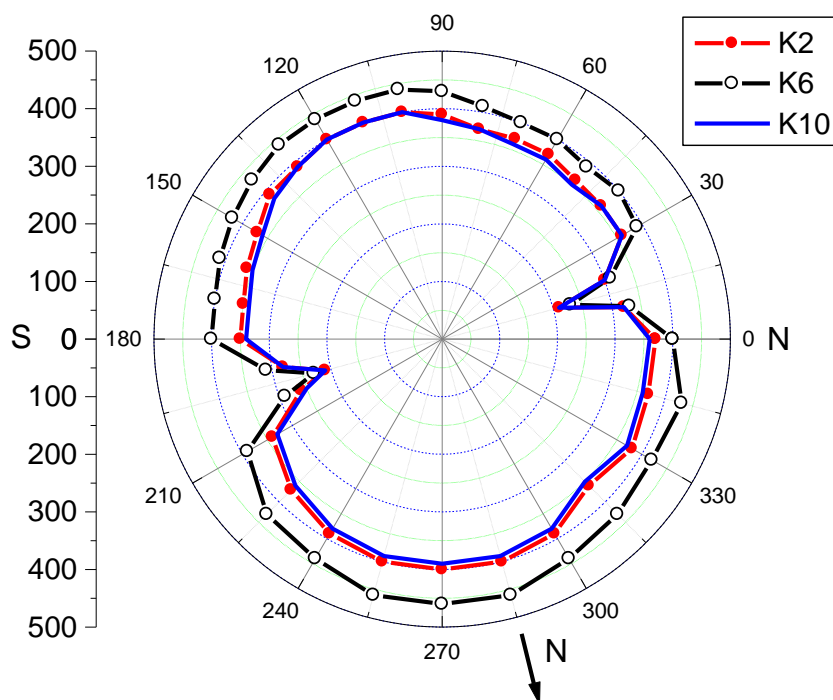
Dla zrozumienia mechanizmów potencjonowania na wytrząsarkach konieczne musimy uwzględnić otaczające nas pole torsyjne. Jako, że cząstki pola torsyjnego nie powstają i nie giną, zjawiska z nimi związane zależą od ich dostępności w naszym otoczeniu. Wydaje się, że najwięcej cząstek pola torsyjnego dociera z głębi Ziemi, gdzie są uwalniane w wyniku rozpadów promieniotwórczych pierwiastków chemicznych, a w nieco mniejszej ilości docierają ze Słońca „przyklejone” do fotonów, od których się odczepiają, kiedy zachodzi zjawisko dekoherencji związane z absorpcją fotonów przez atomy i cząsteczki chemiczne. Oprócz tego mamy wirowe pole torsyjne Ziemi związane z określonym ruchem elektronów odpowiedzialnych za bardziej znany efekt istnienia pola geomagnetycznego. Już znacznie wcześniej zauważyliśmy, że akcelerator pola torsyjnego, bez dodatkowej cewki zapewniającej niezależne od ziemskiego pole magnetyczne, nie działa na linii wschód - zachód. Wykonaliśmy doświadczenie pokazujące strumień cząstek pola torsyjnego w otaczającej nas przestrzeni - w laboratorium. Akcelerator pola torsyjnego z oknem wewnętrznym 2cm umieszczony był wewnątrz cewki zapewniającej indukcję magnetyczną  $600\mu\text{T}$ , a więc ponad dziesięciokrotnie większą od ziemskiego pola magnetycznego (akcelerator zasilany napięciem 88V przez czas 64ms). Wynik dookólnego promieniowania kiedy akcelerator z odbiornikiem w postaci 40ml butelki z wodą obracany był dla kolejnych pomiarów w płaszczyźnie poziomej przedstawiony jest na rys. 10, w postaci wykresu biegunowego. Charakterystyczne jest zmniejszenie strumienia cząstek na osi wschód-zachód, być może nawet do zera. Tutaj

trudno określić jaka część szumu pochodzi od cząstek pola torsyjnego złapanych z innych kierunków. Na rys. 11 przedstawiony został analogiczny wykres dla kierunków leżących w płaszczyźnie pionowej. Kategoria 2 odpowiada aktualnemu najsilniejszemu sygnałowi ze Słońca, Kategoria 6 jednemu z dwóch najsilniejszych sygnałów z głębi Ziemi, Kategoria 10 - mniej reprezentatywna. Strzałką zaznaczono kierunek linii sił pola geomagnetycznego wynoszący ok.  $70^{\circ}$ - $75^{\circ}$ , charakterystyczny dla położenia miejsca pomiarów na kuli ziemskiej (odczytany z ogólnie dostępnych mapek nachylenia pola geomagnetycznego).



Rys. 10. Wykres biegunowy pokazujący różnice strumienia cząstek pola torsyjnego w naszym otoczeniu, w płaszczyźnie horyzontalnej.





Rys. 11. Wykres biegunowy pokazujący różnice strumienia cząstek pola torsyjnego w naszym otoczeniu, w płaszczyźnie pionowej na osi północ południe.

Z wykresów tych wynika wniosek, że cząstki pola torsyjnego unikają kierunku prostopadłego do pola geomagnetycznego, a więc też do wirowego pola torsyjnego Ziemi.

### **Mechanizm potencjonowania przez wytrząsanie**

Proste doświadczenie z ręcznym potencjonowaniem, pokazuje, że przy wytrząsaniu preparatu po rozcieńczeniu w kierunku Wschód - Zachód nie uzyskujemy potencjonowania. Informacja nie osiąga mierzalnej intensywności. Przedstawione jest to w tabeli 3. W doświadczeniu wykorzystano preparat homeopcyjny uzyskany z koloidu srebra przez ręczne wytrząsanie. Preparat ten, jak i samo doświadczenie wykonywane było według następującej procedury. Objętość 1ml, najpierw koloidu, a następnie kolejno uzyskiwanych preparatów przenoszono pipetą automatyczną, do 100ml wody dejonizowanej w 150ml butelce. Butelkę z zawartością przemieszczano sto razy ruchem w przybliżeniu prostoliniowym na długości możliwego bez wysiłku wyciągnięcia rąk. Zasięg promieniowania Kategorii mierzony był, jak poprzednio, przy badaniach spektroskopowych<sup>1,4</sup> wprost z butelki, w której wykonano preparat. W doświadczeniu wykorzystano piątą potencję srebra, której zasięg promieniowania K9 wynosił 220cm, a zasięg pozostałych Kategorii 120cm. Potencjonowanie tą metodą powoduje przesunięcie Kategorii o jedną jednostkę w górę i niewielki wzrost zasięgu promieniowania po każdym etapie potencjonowania. Z tabeli widać że przy ruchu na linii Wschód-Zachód nie występuje sygnał dla Kategorii 10, a więc potencjonowanie nie zaszło. Podobnie nie wystąpił sygnał dla K10 przy wytrząsaniu pełnej (napęlnionej pod korek) butelki. Wystąpiło natomiast niewielkie zwiększenie sygnału wyjściowego K9.

Tab. 3.

Kategoria	Wschód-Zachód	Północ-Południe	góradół	wzdłuż osi magnetycznej pola Ziemi	pełna butelka góradół
	zasięg [cm]	zasięg [cm]	zasięg [cm]	zasięg [cm]	zasięg [cm]
K8					120
K9	120	120	120		150
K10	120	230	240	240	120
K11	120	120	120		120

Z doświadczenia tego wynika, że w potencjonowaniu odgrywa ważną rolę pole torsyjne Ziemi. W przypadku, który można tu przytoczyć, nasze badanie właściwości akceleratora pola torsyjnego umieszczonego w cewce wytwarzającej pole magnetyczne wykazało, że sumaryczne pole magnetyczne (sprężone inherentnie z polem torsyjnym) przyspiesza cząstki pola torsyjnego tylokrotnie, ilokrotnie zwiększone zostało pole magnetyczne względem pola geomagnetycznego. W rozpatrywanym przypadku wytrząsania możemy się spodziewać przyspieszania tych cząstek pola torsyjnego, dla których występuje składowa ruchu równoległa do lokalnego kierunku ziemskiego pola magnetycznego.

Doświadczenia te nie wyjaśniają jednak dlaczego konieczne jest kotłowanie się wody w butelce. Następne doświadczenia pokażą, że chodzi tu o wzajemny ruch pomiędzy różnymi częściami objętości wody. Poniżej w tabelach 4 i 5 przedstawiono zmianę Kategorii przy przenoszeniu informacji w bardzo prostym doświadczeniu, w którym w jednym naczyniu znajduje się preparat homeopatyczny, a w drugim postawionym w odległości 0,5cm - woda. Kiedy mieszamy łyżeczką wodę w lewą stronę uzyskujemy z niej preparat homeopatyczny o potencji +1. To samo możemy uzyskać mieszając wyjściowy preparat homeopatyczny. Jako źródło informacji homeopatycznej zastosowano lek homeopatyczny Ignatia D6 (Apteka "Calendula", Łódź, Polska) w butelce 20ml, zasięg promieniowania K11 z butelki wynosił 390cm a pozostałych Kategorii 160cm. W tabeli 4 przedstawiono przeniesienie informacji z leku homeopatycznego znajdującego się w oryginalnej butelce 20ml na 200ml wody w zlewce 250ml, przy czym dla porównania zastosowano mieszanie bagietką i łyżeczką metalową. Wyniki wykazały podobny rezultat z uzyskaniem potencji +1. W doświadczeniu tym nie zaobserwowaliśmy niekorzystnego wpływu łyżeczki metalowej w stosunku do preparatu homeopatycznego, przynajmniej w zakresie odnoszącym się do intensywności poszczególnych Kategorii. W tabeli 5 przedstawiono analogiczne doświadczenie przenoszenia informacji pomiędzy objętościami 200ml preparatu homeopatycznego z poprzedniego doświadczenia i 200ml wody. Do skopiowania preparatu w stosunku 1:1 potrzeba było tysiąca obrotów łyżeczki bądź bagietki, nie chodziło tu jednak o nową metodę potencjonowania, a o zbadanie zjawiska przestrzennego przenoszenia informacji.

Tabela 4.

Kategoria	mieszanie łyżeczką wody obok leku Ignatia D6				mieszanie bagietką wody obok leku Ignatia D6			
	10 obr.	30 obr.	100 obr.	300 obr.	10 obr.	30 obr.	100 obr.	300 obr.
	zasięg [cm]	zasięg [cm]	zasięg [cm]	zasięg [cm]	zasięg [cm]	zasięg [cm]	zasięg [cm]	zasięg [cm]
K10	90	130	170	200	90	130	180	220
K11	90	130	170	200	90	130	180	220
K12	180	300	370	470	170	300	380	490
K1	90	130	160	200	90	130	180	210

Tabela 5.

Kategoria	mieszanie łyżeczką wody obok uzyskanego preparatu po 300 obrotach				mieszanie bagietką obok uzyskanego preparatu po 300 obrotach			
	30 obr.	100 obr.	300 obr.	1000 obr.	30 obr.	100 obr.	300 obr.	1000 obr.
	zasięg [cm]	zasięg [cm]	zasięg [cm]	zasięg [cm]	zasięg [cm]	zasięg [cm]	zasięg [cm]	zasięg [cm]
K10	90	130	170	230	100	130	170	240
K11	90	130	170	230	90	120	170	240
K12	90	140	170	230	90	120	170	240
K1	170	280	360	480	170	280	370	490

Doświadczenie powyższe możemy jeszcze bardziej uprościć korzystając tylko z jednej szklanki z preparatem homeopatycznym i łyżeczki. Kiedy zamieszamy w lewo najpierw powierzchniową warstwę preparatu homeopatycznego, a następnie zanurzając głębiej łyżeczkę będziemy mieszać coraz głębsze warstwy preparatu, uzyskamy preparat homeopatyczny o potencji +1. Proces ten możemy powtarzać uzyskując kolejne potencje. Wyniki z użyciem mieszania bagietką zostały przedstawione w tabeli 6. Z powodów praktycznych oddzielne warstwy były mieszane tylko przy pierwszych 200 obrotach, przy następnych mieszana była całość wody. Warto zwrócić uwagę na zjawisko wypierania jednej Kategorii przez drugą, tak, że ostatecznie pozostaje tylko jedna. Doświadczenie to zbliża nas do istoty potencjonowania przez wytrząsanie. Wzajemny ruch różnych części cieczy powoduje przepisanie informacji z potencją o wartości o jedną jednostkę wyższą. Występuje pewna różnica między potencjonowaniem przez ruch obrotowy i przez ruch liniowy. W przypadku ruchu obrotowego w zależności od konfiguracji przestrzennej względem wirowego pola torsyjnego Ziemi, w tym kierunku wirowania, możemy uzyskać podwyższenie numeru Kategorii o jeden lub jej obniżenie o jeden. W przypadku ruchu liniowego nad sytuacją dominuje lewoskrętność ziemskiego wirowego pola torsyjnego, potencjonowanie zawsze powoduje podwyższenie numeru Kategorii o jeden. W tabeli 7 przedstawiono dla porównania mieszanie nie warstw preparatu homeopatycznego, ale całej objętości preparatu, w tym przypadku nie mamy zmiany potencji, a jedynie wzmocnienie zasięgu promieniowania dla wszystkich Kategorii.

Tab. 6

	mieszanie bagietką obok Ignatia D6	mieszanie bagietką warstw preparatu 300 <sup>5</sup>	mieszanie bagietką warstw preparatu 300 <sup>5</sup>	mieszanie bagietką warstw preparatu 300 <sup>5</sup>
	300 <sup>5</sup>	100	300	1000
	[obr]	[obr]	[obr]	[obr]
K10	210	230	260	290
K11	210	240	260	290
K12	460	440	370	290
K1	210	440	470	490
K2	210	230	260	290

Tab. 7

	mieszanie bagietką obok Ignatia D6	mieszanie bagietką całości preparatu 300 <sup>5</sup>	mieszanie bagietką całości preparatu 300 <sup>5</sup>	mieszanie bagietką całości preparatu 300 <sup>5</sup>
	300 <sup>5</sup>	100	300	1000
	[obr]	[obr]	[obr]	[obr]
K10	210	220	240	270
K11	210	220	240	260
K12	460	480	510	540
K1	210	220	240	260
K2	210	220	240	270

### Podsumowanie

Z obecności dużej ilości dodatkowych informacji obecnych w komercyjnych lekach homeopatycznych od razu rodzi się pytanie, czy leki te mogą w ogóle działać wobec natłoku tych dodatkowych informacji? Jak można się spodziewać, receptory naszego organizmu wyławiają specyficzną dla nich informację nie z kilkunastu ale spośród tysięcy informacji homeopatycznych docierających do organizmu i prawdopodobnie funkcjonujących w organizmie jako ważny mechanizm wielu procesów. W naszych wstępnych badaniach wyławiania informacji o substancji chemicznej z mieszaniny 24 preparatów homeopatycznych, zaobserwowaliśmy że nie nastąpiło zauważalne pogorszenie stosunku sygnał/szum.<sup>3</sup> Tak więc, organizm ludzki, prawdopodobnie dobrze radzi sobie z wyławianiem specyficznych informacji z mieszaniny. Problemem w przypadku leków homeopatycznych jest natomiast fakt, że te dodatkowe informacje nie są obojętne dla organizmu. Przeglądając literaturę naukową dotyczącą homeopatii nietrudno spostrzec, że oprócz działania specyficznego związanego z substancją, co do której wiemy, że istnieje dla niej w organizmie specyficzny receptor (np preparaty z hormonów), mamy też działanie niespecyficzne. To działanie niespecyficzne nie jest przez autorów prac jasno wyróżnione, jednak mamy sytuację mobilizacji organizmu po podaniu bardzo różnych leków, często takich dla których trudno znaleźć potrzebny w organizmie receptor. Przykładem niespecyficznej mobilizacji organizmu, która jednak nie musi mieć nic wspólnego z powyższym efektem, jest zjawisko hormezy występujące na poziomie chemicznym i powodowane przez bardzo wiele substancji pojawiających się w organizmie w ilości poniżej ich poziomu toksyczności. Chodzi o to, że organizm jest przystosowany do odpowiedzi na pewne bodźce w postaci szerokiego spektrum mobilizacji, od fizycznej do immunologicznej. Analizując wykresy z rys. 3, możemy jednak zauważyć, że nie jest to jedynie zwiększenie uogólnionego pola torsyjnego, ale że są tam sygnały, które mają dla organizmu ważne znaczenie regulacyjne, takie jak jod, rtęć, uran, miedź itd. Część z tych pierwiastków jest wykorzystywana w lekach homeopatycznych, gdzie spełniają funkcję specyficzną. Należy tu też wspomnieć o wpływach geopatycznych, w szczególności o rozłamach tektonicznych, nad którymi pole torsyjne pochodzące z Ziemi jest trzy do ośmiokrotnie większe niż na litym podłożu geologicznym, które na przykład stymulują psychikę ludzką, a jednocześnie ich ciągle oddziaływanie może prowadzić do chorób przewlekłych. Badania rosyjskie pokazały, że na rozłamach tektonicznych mieszkali ich wielcy twórcy, którzy zapisali się w historii, ale też że występuje tam (po latach) co najmniej trzykrotne zwiększenie zachorowalności na nowotwory, czy dwukrotne na cukrzycę. Występuje też, coś pozornie przeciwnego, na rozłamach tektonicznych żyje więcej stulatków.<sup>13</sup> Tak więc, kilkukrotne zwiększenie ziemskiego pola torsyjnego, które ma udział

w dodatkowych sygnałach obecnych w lekach homeopatycznych, może mieć duży wpływ na fizjologię i psychikę człowieka.

Leki potencjonowane z użyciem rozcieńczenia dziesięciokrotnego wykazały znacznie mniejszą zawartość sygnału z tła. Można powiedzieć, że ratują one honor homeopatii, dostarczając leków, które możemy uważać za specyficzne, posiadające przede wszystkim informację homeopatyczną zadeklarowaną na etykiecie. Z punktu widzenia naukowego gdzie pożądane są jasne powiązania przyczynowe i powtarzalność, najbardziej przydatne do leczenia wydają się preparaty o czystej informacji wykonywane z użyciem akceleratora pól torsyjnych. Ten punkt widzenia niekoniecznie będzie tożsamy z punktem widzenia lekarzy praktyków, dla których dodatkowe sygnały zawarte w lekach homeopatycznych mogą rozszerzać spektrum ich działania. Również dla osób nie posiadających głębokiej wiedzy homeopatycznej, w tym umiejętności przytaczania z zasobów własnej pamięci poszczególnych obrazów leków zawartych w obszernych opisach Materia Medica, szerokie spektrum działania, poza oddziaływaniem specyficznym, może być pociągające. Nie dyskwalifikujemy więc praktycznego stosowania leków homeopatycznych zawierających dodatkowe informacje.

Podobny problem występuje w przypadku Esencji Bacha, gdzie nie wiemy jaki jest udział informacji od samej rośliny, a jaki od promieniowania z otoczenia, w tym przypadku jednak data kwitnienia rośliny jest zsynchronizowana z informacją pochodzącą ze Słońca, a deklarowany przez producentów obszar pochodzenia roślin to Wielka Brytania.

W aspekcie wymienionych wyżej pewnych niejasności dotyczących składu informacyjnego leków homeopatycznych i esencji Bacha, możemy mówić o powstaniu nowego kierunku w dziedzinie leczenia homeopatycznego, którym jest stosowanie preparatów o czystej informacji pochodzącej od substancji lub mieszaniny substancji zadeklarowanych na etykiecie. Stosowanie tych leków wymagać będzie nowych badań praktycznych, na pacjentach, o tyle jednak uproszczonych, że spodziewane ich działanie można będzie przynajmniej częściowo wywnioskować z działania znanych leków zawierających oprócz informacji podstawowej informacje dodatkowe. Spodziewamy się że zastosowanie czystych informacyjnie preparatów spowoduje, że badania prowadzone na zwierzętach lub hodowlach komórkowych staną się bardziej powtarzalne i dadzą bardziej wyraźne efekty działania. Metoda z zastosowaniem akceleratora pól torsyjnych jest prosta, tania i umożliwia niezależne programowanie Kategorii i zasięgu promieniowania preparatu homeopatycznego.

Przedstawione informacje dotyczące leków homeopatycznych i cząstek pola torsyjnego pochodzącego z różnych źródeł uzyskane za pomocą spektroskopii cząstek pola torsyjnego, powinny ułatwić bardziej wyrafinowane badania wewnętrznych pól torsyjnych w organizmie człowieka (które przykładowo różnią się w poszczególnych punktach akupunkturowych), wpływu na te pola leków homeopatycznych i allopatycznych oraz zewnętrznych pól, o których wiemy że zaburzają zdrowie człowieka. Z możliwości dwustronnego transferu informacji w postaci cząstek pola torsyjnego pomiędzy człowiekiem a urządzeniem elektronicznym mogąym pamiętać zarówno informację z ciała człowieka, jak i tysiące leków homeopatycznych korzysta szybko rozwijająca się dziedzina radioniki. Być może zanim dobrze rozwinięta nowoczesna specyficzna homeopatia, urządzenia radioniczne przejmą jej rolę, jakkolwiek dopiero po usunięciu podobnych niedoskonałości jakie występują we współczesnych lekach homeopatycznych - dodatkowych informacji - pochodzących tym razem od materiałów półprzewodników, złączy metalowych i wprowadzanych szumów elektronicznych.

## Literatura

1. Д. Войтковяк, К. Радушкевич, М. Войтковяк, А. Фрыдриховски; Спектроскопия торсионных полей; Журнал Формирующихся Направлений Науки; [www.torsionfield.eu](http://www.torsionfield.eu)
2. Д. Войтковяк, К. Радушкевич, А. Фридриховски; Какую информацию способна перенести частица торсионного поля? Журнал Формирующихся Направлений Науки; [www.torsionfield.eu](http://www.torsionfield.eu)
3. Б. Глембицка, Д. Войтковяк, К. Радушкевич, А. Фридриховски; Частицы торсионного поля в функционированию памяти ассоциативной человека; Журнал Формирующихся Направлений Науки; [www.torsionfield.eu](http://www.torsionfield.eu)
4. Д. Войтковяк, Э. Малярчик, К. Радушкевич, М. Скурковска, М. Войтковяк, А. Фрыдриховски; Корпускулярно-волновые свойства торсионных полей - итоги собственных экспериментов; Торсионные поля и информационные взаимодействия – 2014: Материалы IV-й международной научно-практической конференции. Москва, 20-21 сентября 2014 г. с. 185-197 <http://www.second-physics.ru/node/30>
5. Медленно меняющиеся биологические часы, использующие торсионные поля Д. Войтковяк, Б. Глембицка, К. Радушкевич, М. Скурковска, А. Фрыдриховски; Торсионные поля и информационные взаимодействия – 2016: Материалы V-й международной научно-практической конференции. Москва, 10-11 сентября 2016 г. с. 153-167 <http://www.second-physics.ru/node/31>
6. Diana Wojtkowiak; Antropologia systematyczna; Autorska Seria Naukowa DETERMINIZM Tom II, Gdansk 2009; <http://www.torsionfield.eu/>
7. А. Е. Акимов ; Эвристическое обсуждение проблемы поиска новых дальнодействий. EGS-концепции; w zbiorze prac: Сознание и физический мир, Выпуск 1, Издательство Агентства «Яхтсмен», Moscow 1995.
8. А. Р. Павленко; Биобезопасная электроника: Шаг за горизонт официальной науки; издание 2, 2015; [http://www.spinor.kiev.ua/userfiles/image/book/book\\_Pavlenko\\_v\\_07.pdf](http://www.spinor.kiev.ua/userfiles/image/book/book_Pavlenko_v_07.pdf)
9. Cyril W. Smith; Homeopathy - how it works and how it is done - 6; Hpathy Ezine, September, 2009. <http://hpathy.com/scientific-research/homeopathy-%E2%80%93-how-it-works-and-how-it-is-done-6/>
10. А. Л. Чижевский; Земное эхо солнечных бурь; Второе издание; Издательство «Мысль», Москва 1976.
11. Diana Wojtkowiak; Psychopatologia według kategorii uniwersalnych; Autorska Seria Naukowa DETERMINIZM Tom I, Gdańsk 2008; <http://www.torsionfield.eu/>
12. William F. Mc Donough; The composition of the Earth; International Geophysics (2001) 76: 3-23.
13. Е. К. Мельников, Г. М. Пивоварова; Геодинамически активные разломы и их воздействие на здоровье и жизнедеятельность человека; Издательство Ладога-100, Санкт-Петербург – Москва 2014 г. – 176 с.
14. Immanuel Kant; Krytyka czystego rozumu, Państwowe Wydawnictwo Naukowe, Warszawa 1986.
15. Книгин А.Н; Учение о категориях: Учебное пособие для студентов философских факультетов; Томский государственный университет, Томск 2002; [http://sbiblio.com/biblio/archive/knigin\\_kategorija/](http://sbiblio.com/biblio/archive/knigin_kategorija/)
16. Е. Н. Wichmann; Fizyka kwantowa; Państwowe Wydawnictwo Naukowe, Warszawa 1975.